



استفاده از روش پیش شرط ترکل جهت تسريع همگرایی حل جریان تراکم پذیر با ماخ پایین

محسن معتمدی^{۱*}، سعید شیخی^۲

۱- مریبی، مهندسی هواپیما، دانشگاه پیام نور، تهران

۲- فارغ التحصیل کارشناسی ارشد، مهندسی مکانیک، دانشگاه صنعتی شریف، تهران
* تهران، صندوق پستی ۱۹۳۹۵۳۶۹۷ motamedi.mohsen@kh.isfpu.ac.ir

چکیده

سیستم معادلات تراکم پذیر با استفاده از روش های عددی بالا دست برای تحلیل جریان ها با سرعت کم، همگرایی بسیار پایین دارد. در این نوشتار روش پیش شرطی به عنوان روشی که می تواند مشکل های عددی سیستم معادلات اویلر تراکم پذیر را در سرعت های پایین برطرف کند به معادلات اویلر اعمال شده و برای تحلیل جریان حول هندسه های دو بعدی استفاده شده است. روش پیش شرطی با تصحیح قسمت گذراي معادلات، مقادیر ویژه را به یکدیگر تزدیک می کند و سبب افزایش سرعت رسیدن به حل پایان می شود. در نتیجه در اینجا ماتریس پیش شرط ترکل که یکی از پر کاربرد ترین ماتریس های پیش شرطی است، در سیستم معادلات اویلر استاندارد ضرب می شود. با توجه این که در بیشتر حل گذراي ها از متغیر های بقایی استفاده می شود، ماتریس پیش شرط ترکل بر حسب متغیر های بقایی ایجاد شده و مورد استفاده قرار گرفته است. برای گستره سازی قسمت مکانی معادلات از روش حجم محدود بالا دست «Roe» در یک شبکه بی سازمان استفاده می شود. بخش زمانی معادلات نیز به کمک روش صریح رانگ کوتا مرتبه چهار گستره می شود. جهت بررسی دقت و کارایی روش پیش شرطی ترکل جریان غیر لزوج دو بعدی حول ایرفویل NACA0012 با اعداد ماخ مختلف شبیه سازی شده و حل پایا به دست آمده است. نتایج نشان می دهد که با به کار بردن روش پیش شرطی ترکل در ماخ های پایین سرعت همگرایی را می توان تا در برای افزایش داد.

اطلاعات مقاله

مقاله پژوهشی کامل

دریافت: ۱۹ اردیبهشت ۱۳۹۶

پذیرش: ۲۹ خرداد ۱۳۹۶

ارائه در سایت: ۱۷ شهریور ۱۳۹۶

کلید واژگان:

جریان تراکم پذیر

پیش شرطی

ترکل

ماخ پایین

Use of Turkel Precondition Method for Convergence Acceleration of Compressible Flow with low-Mach Number

Mohsen Motamedei^{1*}, Saeed Sheikhi²

1- Department of Mechanical Engineering, Payame Noor University, Tehran, Iran

2- Department of Mechanical Engineering, Sharif University of Technology, Tehran, Iran

* P.O.B. 193953697, Tehran, Iran, motamedi.mohsen@kh.isfpu.ac.ir

ARTICLE INFORMATION

Original Research Paper

Received 09 May 2017

Accepted 19 June 2017

Available Online 08 September 2017

Keywords:

Compressible Flow

Preconditioner

Turkel

Low Mach number

ABSTRACT

The system of compressible equations using upstream numerical methods has convergence problem to analyze low-Mach number flow. In this study precondition method is employed in Euler equations to solve convergence problem in low-Mach number flow and these preconditioned equations are used to analyze flow around a two-dimensional body. The preconditioner modifies the transient behavior of the Euler equations in a manner such that the stiffness of the eigenvalues is removed and allows for a faster convergence to the steady state. So, Turkel precondition method, one of the useful precondition matrices, is applied in system of Euler equations. As the majority of solvers use conservative variables, precondition matrix is recalculated for conservative variables and is employed in Euler equations. The upstream finite volume Roe method in an unstructured grid is employed for space discretization of equations. The transient part of equations is also discretized with fourth order explicit Runge-Kutta method. The performance of the proposed approach is vetted through an inviscid two-dimensional flow around the NACA0012 airfoil with different Mach number and the steady state solution is calculated. Numerical results show that Turkel preconditioner allows for a faster convergence to the steady state solution in low-Mach number.

توجه قرار گرفته است. جریان های آئرودینامیکی یکی از مسائلی است که

دینامیک سیالات محاسباتی به طور وسیع در آن استفاده می شود. مسائل

بیچیده آئرودینامیکی به کمک دینامیک سیالات محاسباتی قابل حل است.

برای نمونه امنیابی و همکاران [۱] گذار لایه مرزی درون میدان جریان ملخ را

دینامیک سیالات محاسباتی به شاخه ای از فیزیک محاسباتی اطلاق می شود

که به بحث در مورد شبیه سازی جریان سیال می پردازد. به دلیل هزینه اندک

شبیه سازی عددی نسبت به آزمایش های عملی این شاخه امروزه بسیار مورد

۱- مقدمه

برای ارجاع به این مقاله از عبارت ذیل استفاده نمایید:

M. Motamedei, S. Sheikhi, Use of Turkel Precondition Method for Convergence Acceleration of Compressible Flow with low-Mach Number, *Modares Mechanical Engineering*, Vol. 17, No. 9, pp. 130-136, 2017 (in Persian)

گسته سازی می شود. برای رفع تکینگی روش پیش شرط در نواحی سکون از یک رابطه قطع برمبنای ماخ جریان آزاد استفاده می شود. نتایج با اعداد ماخ مختلف روی ایرفویل به دست می آید و کارایی و عملکرد روش پیش شرطی ترکل در افزایش نرخ همگرایی در اعداد ماخ گذر صوت و ماخ های بسیار پایین بررسی می شود.

نتایج ارائه شده حاکی از این واقعیت است که به کار بردن روش پیش شرطی علاوه بر این که نرخ همگرایی جریان با ماخ پایین را تا دو برابر افزایش می دهد، پاسخ های قابل قبولی هم ارائه می کند.

2- معادلات حاکم بر جریان

همان طور که می دانیم معادلات حاکم بر جریان غیرلزج معادلات اویلر نام دارد که در فرم بقایی به صورت رابطه (1) نوشته می شود.

$$\frac{\partial \vec{Q}_c}{\partial t} + \frac{\partial \vec{E}}{\partial x} + \frac{\partial \vec{F}}{\partial y} = 0 \quad (1)$$

در آن \vec{Q} بردار حل بقایی، \vec{E} و \vec{F} بردارهای شار غیرلزج است که طبق رابطه (2) تعریف می شوند.

$$\vec{Q}_c = \begin{bmatrix} \rho \\ \rho u \\ \rho v \\ E \end{bmatrix}, \quad \vec{E} = \begin{bmatrix} \rho u \\ \rho u^2 + P \\ \rho vu \\ (\rho E + P)u \end{bmatrix}, \quad \vec{F} = \begin{bmatrix} \rho v \\ \rho uv \\ \rho v^2 + P \\ (\rho E + P)v \end{bmatrix} \quad (2)$$

در رابطه (2) ρ (چگالی)، P فشار استاتیک، (u, v) سرعت های کارتزین و E انرژی کل است. ماهیت معادلات اویلر ترکیبی از ماهیت هذله ولی و بیضوی است که به عدد ماخ جریان بستگی دارد. در اعداد ماخ پایین مقدار چگالی تقریباً ثابت می ماند و تغییرات آن نسبت به دیگر پارامترها سیار کم است. در واقع در این حالت مقدار ویژه معادلات اویلر اختلاف زیادی پیدا می کند که این موضوع سبب بدرفتاری حل و کاهش نرخ همگرایی می شود؛ بنابراین برای همگرایی سریع تر باید مقدار ویژه معادلات اویلر تغییر پیدا کند و به یکدیگر نزدیک شود که این کار توسط روش پیش شرطی انجام می گیرد.

2-1- معادلات اویلر پیش شرطی

در حل پایایی معادلات اویلر عبارت های زمانی در نهایت به سمت صفر میل می کند؛ بنابراین تغییر عبارت های زمانی هیچ تغییری در نتایج حل پایا ایجاد نمی کند که اساس روش پیش شرطی همین موضوع است [13]. در حقیقت در روش پیش شرطی با اضافه کردن عبارت هایی به بخش مشتقات زمانی معادلات اویلر آن ها را طوری اصلاح می کند که مقدار ویژه معادلات به یکدیگر نزدیک شود. این اصلاح با ضرب یک ماتریس در قسمت زمانی معادلات صورت می گیرد. معادلات اویلر پیش شرطی شده طبق رابطه (3) به دست می آید [7].

$$\Gamma^{-1} \frac{\partial \vec{Q}_c}{\partial t} + \frac{\partial \vec{E}}{\partial x} + \frac{\partial \vec{F}}{\partial y} = 0 \quad (3)$$

در آن Γ ماتریس پیش شرطی است. ماتریس ترکل³ یکی از پر کاربرد ترین ماتریس های پیش شرطی است که براساس متغیرهای اولیه

$$[\beta] = [\vec{Q}_p, u, v, S]^T \quad (4)$$

در آن β پارامتر پیش شرطی است. برای استفاده از روش پیش شرطی ترکل در متغیرهای بقایی باید این ماتریس طبق متغیرهای بقایی به دست

به کمک دینامیک سیالات محاسباتی شبیه سازی کردند. در مسائل آنرویدینامیکی به دلیل وجود اثرات تراکم پذیری معمولاً از سیستم معادلات تراکم پذیر اویلر استفاده می شود، اما این معادلات در حل جریان ها با ماخ پایین که اثرات تراکم پذیری کم می شود دارای نرخ همگرایی بسیار پایین هستند. با توجه به این که بیشتر جریان های آنرویدینامیکی ترکیبی از ماهیت های تراکم پذیری و تراکم ناپذیری است باید این مشکل برطرف گردد. راه های بسیاری برای حل این مشکل پیشنهاد شده است که استفاده از پیش شرط موضعی¹ یکی از موفق ترین آن هاست. با استفاده از این روش می توان با روش های مخصوص جریان های تراکم پذیر در اعداد ماخ بسیار کم (در حد 0.001) هم پاسخ های قابل قبولی به دست آورد.

تاکنون ماتریس های پیش شرطی متفاوتی ارائه شده است. ترکل [2] با استفاده از مفهوم تراکم پذیری مصنوعی که برای نخستین بار توسط کورین در مرجع [3] بیان شده بود، یک ماتریس پیش شرطی جهت تسريع همگرایی جریان های تراکم پذیر با ماخ پایین ارائه کرد. اریکسون [4] و چوی و مرکل [5] ماتریس های پیش شرطی دیگری ارائه کردند. ترکل و همکاران [6] روش پیش شرطی را برای جریان های تراکم ناپذیر هم گسترش دادند که این روش در گستره وسیعی از اعداد ماخ کارایی مناسبی دارد. هجران فر و کمالی مقدم در [7] ماتریس پیش شرطی اریکسون را برای حل ضمنی معادلات اویلر تراکم پذیر به کار برداشتند. آن ها نشان دادند که استفاده از روش پیش شرطی به همراه روش ضمنی می تواند حل عددی را در سرعت های پایین به گونه چشمگیری افزایش دهد، همچنین آن ها در [8] ماتریس اریکسون را در یک حلگر صریح برحسب متغیرهای غیر بقایی (ρ, u, v, P) اعمال کردند و کارایی آن را در این حلگر بررسی کردند. نیگرو و همکاران [9] ماتریس پیش شرطی را در روش گالرکین پیاده سازی کردند و با استفاده از شبکه های سه ضلعی و چهارضلعی تأثیر گسته سازی کردند و با استفاده از شبکه های سه ضلعی و مورد بررسی قرار دادند. ترکل و واتسا [10] روش پیش شرطی را در معادلات ناپایا و تراکم پذیر ناویر استوکس با استفاده از روش گام زمانی دو گانه پیاده سازی کردند. آن ها اثرات زمان مجازی را در دقت و نرخ همگرایی معادلات با استفاده از دو نوع بردار حل معادله های بقایی و متغیرهای اولیه (غیر بقایی) مقایسه کردند. پراچار [11] روش پیش شرطی موضعی را در جریان تراکم پذیر با ماخ پایین در اجسام دور پیاده سازی کرد. او از ماتریس پیش شرطی ترکل استاندارد استفاده کرد و آن را برای اجسام دور تغییر داد. برخی از محققین کارایی آن را در محدوده وسیع تری با اعمال روش پیش شرطی روی موارد مختلف مورد بررسی قرار دادند. برای نمونه شین و همکاران [12] روش پیش شرطی را برای حل جریان دوفازی گاز و مایع در یک جریان کایوتیاسیون توسعه دادند.

در مطالعات پیشین روش های پیش شرطی طبق متغیرهای اولیه (غیر بقایی) مورد بررسی قرار گرفته اند. به کارگیری ماتریس بقایی ($\rho, \mu u, \mu v, E$) در میدان هایی که دارای ناپیوستگی است نتایج بهتری نسبت به معادلات غیر بقایی به دست می دهد. با توجه به این که تغییر متغیرها سبب تغییر مقدار ویژه معادلات می شود و به طور کلی روش گسته سازی و کارایی روش پیش شرطی را تحت تأثیر قرار می دهد، هدف اصلی این مقاله نحوه اعمال روش پیش شرطی در معادلات بقایی و بررسی کارایی آن است. برای این منظور روش پیش شرطی ترکل در معادلات بقایی حاکم بر جریان دو بعدی غیر لزج پیاده سازی می شود. قسمت مکانی معادلات طبق روش حجم محدود بالادستی «روآ» و قسمت زمانی معادلات طبق روش رانگ کوتا

¹ Local Preconditioning

² Roe

شكل انتگرالی معادلات اویلر پیش شرطی روی سطح معیار Ω با مرز $\partial\Omega$ به صورت رابطه (11) است.

$$\frac{\partial}{\partial t} \iint_{\Omega} \vec{Q}_c dA + \Gamma \oint_{\partial\Omega} H(\vec{Q}_c) \cdot \hat{n} ds = 0 \quad (11)$$

در رابطه (11) پارامتر \vec{H} شار عبوری از سطوح مرزی است و به صورت $H(\vec{Q}_c) = E(\vec{Q}_c)\hat{t} + F(\vec{Q}_c)\hat{j}$ است. برای گسسته سازی قسمت مکانی معادلات از یک شبکه بی سازمان که سلول های آن سه ضلعی و مانند "شکل 1" است استفاده می کنیم.

قسمت مکانی رابطه (11) طبق روش حجم محدود با استفاده از الگوریتم رو برای یک شبکه بی سازمان سه ضلعی مانند رابطه (12) است.

$$\Gamma \oint_{\partial\Omega} H(\vec{Q}_c) \cdot \hat{n} ds = \Gamma \sum_{k=1}^3 \vec{H}_k \cdot d\ell_k \quad (12)$$

در آن ℓ طول هر وجه سلول و \vec{H}_k شار عبوری از وجه k است که طبق رابطه (13) محاسبه می شود [8].

$$H_k = 0.5[H(\vec{Q}_L) + H(\vec{Q}_R) - \tilde{\Gamma}^{-1}|\tilde{A}_\Gamma|\Delta Q]_k \quad (13)$$

در رابطه (13) جملات \vec{Q}_L و \vec{Q}_R به ترتیب بردار متغیرهای بقایی در سمت چپ و راست وجه k نیز ماتریس ژاکوبین معادلات پیش شرطی و در آن علامت $-$ بیانگر مقادیر میانگین رو است. ترم میرایی $\tilde{\Gamma}^{-1}|\tilde{A}_\Gamma|\Delta Q$ در روش رو طبق رابطه (14) محاسبه می شود [15].

$$\begin{aligned} \tilde{\Gamma}^{-1}|\tilde{A}_\Gamma|\Delta Q = & \left[\begin{array}{l} |\tilde{U}_n|\tilde{\alpha}_1 \\ |\tilde{U}_n|\tilde{\alpha}_1\tilde{u} \\ |\tilde{U}_n|\tilde{\alpha}_1\tilde{v} \\ |\tilde{U}_n|\tilde{\alpha}_1\frac{\tilde{u}^2 + \tilde{v}^2}{2} \end{array} \right. \\ & \left. + d_2 \frac{4p}{\tilde{c}^2} + d_1 \tilde{\rho} \Delta U_n \right. \\ & \left. - \tilde{\rho} |\tilde{U}_n| n_y \Delta V_n + d_4 \frac{4p}{\tilde{c}^2} + d_3 \tilde{\rho} \Delta U_n \right. \\ & \left. + \tilde{\rho} |\tilde{U}_n| n_x \Delta V_n + d_6 \frac{4p}{\tilde{c}^2} + d_5 \tilde{\rho} \Delta U_n \right. \\ & \left. + \tilde{\rho} |\tilde{U}_n| \tilde{V}_n \Delta V_n + d_8 \frac{4p}{\tilde{c}^2} + d_7 \tilde{\rho} \Delta U_n \right] \end{aligned} \quad (14)$$

در رابطه (14) مقدار $V_n = -un_x + vn_y$ است که در آن x و y تصویر بردار عمود بر وجه سلول در جهت x و y است. نحوه محاسبه α_1 و d_1 تا d_8 به طور کامل در [15] توضیح داده شده است. به این ترتیب با محاسبه شار عبوری از تمام وجههای یک سلول طبق رابطه (14) قسمت مکانی معادلات اویلر پیش شرطی شده گسسته می شود.

2- گسسته سازی زمانی

معادلات اویلر پیش شرطی را می توان به شکل نیمه گسسته مانند رابطه (15) نوشت.

$$\frac{d}{dt}(Q_j) = R_j \quad j = 1, 2, \dots \quad (15)$$

در آن j شماره سلول و R_j باقی مانده سلول j -ام است که به کمک رابطه (16) محاسبه می شود.

$$R_j = \Gamma \sum_{k=1}^3 \vec{H}_k \cdot d\ell_k \quad (16)$$

مقدار باقی مانده هر سلول مطابق آن چه در قسمت گسسته سازی مکانی گفته شده محاسبه می شود. قسمت مشتق زمانی نیز مانند معادلات دیفرانسیل معمولی طبق روش رانگ کوتا مرتبه چهار گسسته می شود.

برای پیش روی در زمان نیاز به داشتن مقدار گام زمانی Δt است. با توجه به این که در این مطالعه دستیابی به پاسخ پایا مورد نظر بوده، جهت تسريع در نرخ همگرایی حل و کاهش زمان محاسباتی از گام زمانی موضعی در هر

آید که برای این کار از رابطه (5) استفاده می شود [6].

$$\Gamma(\vec{Q}_c) = \frac{\partial Q_c}{\partial Q_p} \Gamma(\vec{Q}_p) \frac{\partial Q_p}{\partial Q_c} \quad (5)$$

مقادیر مشتق بقایی و فرعی در [6] آورده شده است؛ بنابراین ماتریس پیش شرط ترکل برای متغیرهای بقایی طبق رابطه (6) به دست می آید.

$$\Gamma(\vec{Q}_c) = \begin{bmatrix} \frac{M^2}{2} + 1 & -\frac{\phi u}{c^2} \\ \frac{\phi M^2}{2} & -\frac{\phi u^2}{c^2} + 1 \\ \frac{\phi v M^2}{2} & -\frac{\phi uv}{c^2} & \dots \\ \left(\frac{\phi M^2}{4} + \frac{\beta^2 - 1}{2}\right)V_t & -\left(\frac{\phi M^2}{2} + \beta^2 - 1\right)u \\ -\frac{\phi v}{c^2} & \frac{\phi}{c^2} \\ -\frac{\phi u v}{c^2} & \frac{\phi u}{c^2} \\ \dots & \frac{\phi v^2}{c^2} + 1 \\ -\frac{\phi v^2}{c^2} & \frac{\phi v}{c^2} \\ -\left(\frac{\phi M^2}{2} + \beta^2 - 1\right)v & \frac{\phi M^2}{2} + \beta^2 \end{bmatrix} \quad (6)$$

رابطه (7) را در ماتریس رابطه (6) داریم.

$$\phi = (\gamma - 1)(\beta^2 - 1)$$

$$V_t = u^2 + v^2$$

$$c = \sqrt{\frac{\gamma P}{\rho}}$$

$$M = \frac{\sqrt{V_t}}{c} \quad (7)$$

برای رفع تکینگی ماتریس پیش شرطی در نواحی سکون پارامتر پیش شرطی β با استفاده از رابطه قطع به صورت رابطه (8) تعیین می شود [14].

$$\beta^2 = \min[1, \max(M_\infty^2, M^2)] \quad (8)$$

این انتخاب سبب می شود پارامتر پیش شرطی به سمت صفر میل نکند و تکینگی در نقاط سکون از بین برود.

با اعمال ماتریس پیش شرطی ترکل در معادلات اویلر، مقادیر ویژه سیستم معادلات طبق رابطه (9) محاسبه می شود.

$$\lambda_1 = \lambda_2 = U_n, \quad \lambda_{3,4} = U'_n \pm c' \quad (9)$$

در رابطه (9) سرعت عمود بر وجه سلول به شکل (13) به دست می آید [13].

$$U'_n = 0.5(1 + \beta^2)U_n, \quad c' = 5\sqrt{4c^2 + (1 + \beta^2)^2 U_n^2} \quad (10)$$

پس از اعمال ماتریس پیش شرط معادلات باید گسسته سازی شوند که در ادامه به طور کامل توضیح داده می شود.

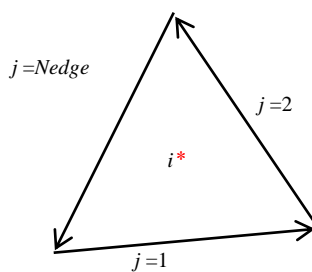
3- گسسته سازی معادلات

برای گسسته سازی معادلات اویلر دو بعدی از یک شبکه بی سازمان و روش حجم محدود با الگوریتم بالادست رو استفاده می شود. قسمت زمانی معادلات نیز طبق روش رانگ کوتا مرتبه 4 گسسته می شود.

1-3- گسسته سازی مکانی

هدف این مقاله تحلیل کارایی و دقت روش پیش شرطی ترکل در شرایط مختلف جریان است. برای این منظور ابتدا جریان با $M_\infty = 0.5$ و زاویه حمله صفر حل می شود. برای حل این مسأله عدد CFL برابر 1.32 فرار داده می شود. توزیع فشار روی سطح ایرفویل و مقایسه نرخ همگرایی حل برای روش های پیش شرطی و غیرپیش شرطی به ترتیب در "شکل های 3 و 4" به ازای ماخ 0.5 و زاویه حمله صفر آورده شده است. نتایج نشان می دهد که روش پیش شرطی و غیرپیش شرطی از نظر دقت یکسان بوده و توزیع ضریب فشار آن ها روی سطح ایرفویل با داده های تجربی تطابق خوبی دارند. مقایسه نرخ همگرایی در "شکل 4" نشان می دهد که در اعداد ماخ بالا عملکرد ماتریس پیش شرطی همچون روش غیرپیش شرطی است به طوری که در روش غیرپیش شرطی با 10984 تکرار و در زمان 272 ثانیه به همگرایی رسیده و در روش پیش شرطی همگرایی با 10414 تکرار و در مدت زمان 246 ثانیه حاصل می شود. بنابراین در روش پیش شرطی تعداد تکرار و زمان محاسبات اندکی کاهش می یابد، ولی این کاهش چشمگیر نیست. یعنی در اعداد ماخ بالا روش پیش شرطی کارایی خود را از دست می دهد و تأثیر زیادی در نرخ همگرایی ایجاد نمی کند.

ماهیت تراکم ناپذیری معادلات با کاهش عدد ماخ جریان غالب می گردد و سیستم معادلات تراکم پذیر دچار مشکل شده و روش پیش شرطی کارایی



شکل 1 سلول شبکه محاسباتی مورد استفاده

سلول استفاده می شود. مقدار گام زمانی برای سلول Δt با استفاده از رابطه (17) تعیین می شود.

$$\Delta t_j \leq \frac{CFL \times \Omega_j}{\sum_{k=1}^{Nedge} (\lambda_{max})_k d \ell_k} \quad (17)$$

در رابطه (17) پارامتر Ω مساحت سلول j و CFL عدد کورانت است. با توجه به رابطه (9) بزرگ ترین مقدار ویژه معادلات اویلر پیش شرطی برابر $\lambda_{max} = U'_h + c'$ است.

پس از گسسته سازی معادلات باید شرایط مرزی تعیین و معادلات حل شود. در ادامه نحوه اعمال شرایط مرزی بیان می شود.

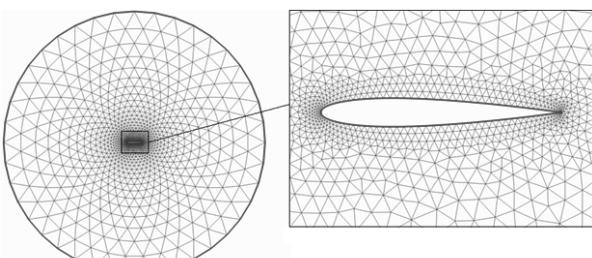
4- شرایط مرزی

شبیه سازی عددی پدیده های آئرو دینامیکی نیازمند بررسی ناحیه محدودی از جریان حول یک جسم است. با محدود کردن میدان محاسباتی حول یک جسم مرزهای دور دست به وجود می آید که مقادیر جریان روی آن ها باید توسط شرایط مرزی دور دست مشخص شوند. عموماً شرایط مرزی مشخصه ها بر مبنای لایتغیرهای ریمان به عنوان شرایط مرزی دور دست استفاده می شوند. تئوری مشخصه ها برای جریان ورودی زیر صوت نشان می دهد که شبیه یکی از خطوط مشخصه منفی بوده و بنابراین در فضای دور بعدی و در مرز ورودی باید سه عدد از خواص فیزیکی جریان مشخص بوده و یکی از خواص نیز از داخل میدان گرفته شود تا بدین ترتیب امواج صوتی ایجاد شده در جریان جذب شوند. در جریان خروجی زیر صوت دو خط مشخصه از داخل میدان و یک خط مشخصه از خارج میدان اطلاعات را به مرز خروجی می رسانند. با توجه به متغیرهای ریمان که روی این خطوط منتشر می شوند معادلات لازم برای محاسبه خواص جریان روی مرز به دست می آید. در اینجا شرایط مرزی دور دست طبق روش مشخصه ها تعیین می شود.

در جریان غیر لزج شرایط مرزی روی سطح ایرفویل باید به گونه ای اعمال شود که مؤلفه سرعت عمود بر سطح صفر شود. این شرط سبب ساده شدن بردار شار در مرزهای دیوار می شود به طوری که برای تعیین شار مرزی فقط نیاز به محاسبه مقدار فشار روی این اضلاع است. با فرض این که فاصله مرکز نخستین سلول تا سطح دیوار به اندازه کافی کوچک است مقدار فشار روی دیوار را می توان برابر فشار روی سلول مجاور آن گرفت.

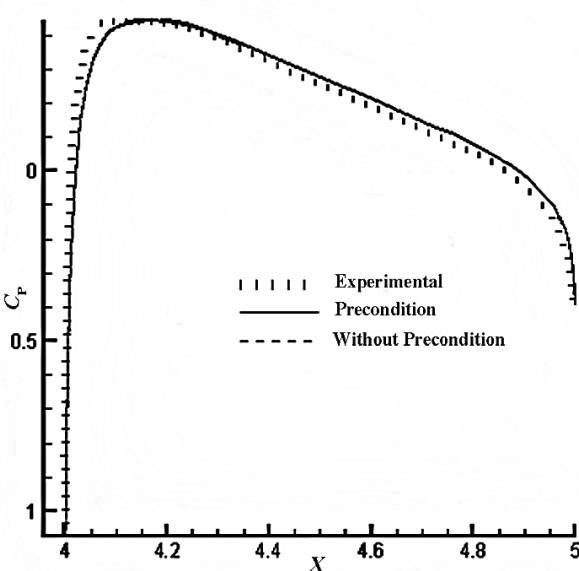
5- نتایج

برای بررسی کارایی روش پیش شرطی ترکل در تحلیل عددی جریان حول هندسه های دور بعدی، یک جریان غیر لزج دور بعدی هوا حول ایرفویل NACA0012 با اعداد ماخ مختلف شبیه سازی می شود و نتایج به دست می آید. با ایجاد یک شبکه محاسباتی در اطراف ایرفویل معادلات اویلر پیش شرطی شده با روش حجم محدود گسسته می شوند. در اینجا شبکه محاسباتی به شکل بی سازمان شامل 3218 سلول و مانند "شکل 2" است.



شکل 2 ایرفویل و شبکه محاسباتی مورد مطالعه

شکل 2 ایرفویل و شبکه محاسباتی مورد مطالعه



شکل 3 مقایسه ضریب فشار حاصل از روش استاندارد و پیش شرطی در اطراف ایرفویل در $M_\infty = 0.5$

$M_\infty = 0.5$

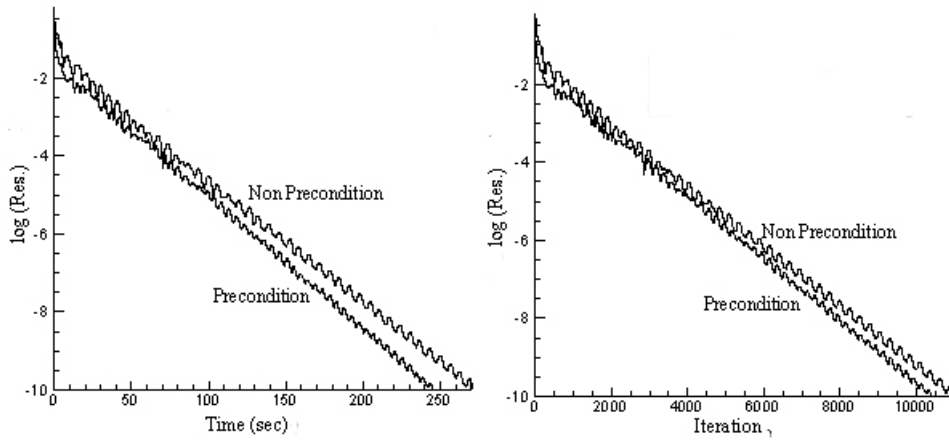


Fig. 4 Convergence rate based on iteration and time for standard and preconditioned method in $M_{\infty}=0.5$

حاصل می شود، در واقع سرعت همگرایی حدود 15.5 برابر می شود. به این ترتیب هرچه عدد ماخ به صفر نزدیکتر شود روش پیش شرطی کارایی بهتری در افزایش دقت و بهبود نرخ همگرایی دارد.

6- نتیجه گیری و جمع بندی

در تحقیق حاضر ماتریس پیش شرطی ترکیب برای سیستم معادلات اوپلر بر حسب متغیرهای بقایی ایجاد شد و برای بررسی کارایی آن جریان غیر لازج دو بعدی حول ایرفویل با اعداد ماخ مختلف شبیه سازی شد. با توجه به نتایج دریافتیم که با افزایش سرعت جریان چون معادلات تراکم پذیر غالب می شوند تأثیر ماتریس های پیش شرطی از بین می رود و کارایی خیلی خوبی ندارند. در این حالت تعداد تکرار لازم برای رسیدن به همگرایی اندکی کاهش می باید و زمان همگرایی نیز کاهش اندکی دارد، اما هرچه عدد ماخ کاهش پیدا کند ماتریس پیش شرطی تأثیر خود را بیشتر نشان می دهد. برای نمونه در عدد ماخ 0.1 نسبت به عدد ماخ 0.5 نرخ همگرایی با به کار بردن روش پیش شرطی افزایش بیشتری پیدا می کند. دقت نتایج در این عدد ماخ تفاوتی با روش غیر پیش شرطی ندارد. در واقع در عدد ماخ 0.1 بدون استفاده از روش های پیش شرطی نتایج با دقت منطقی به دست می آید، ولی با استفاده از

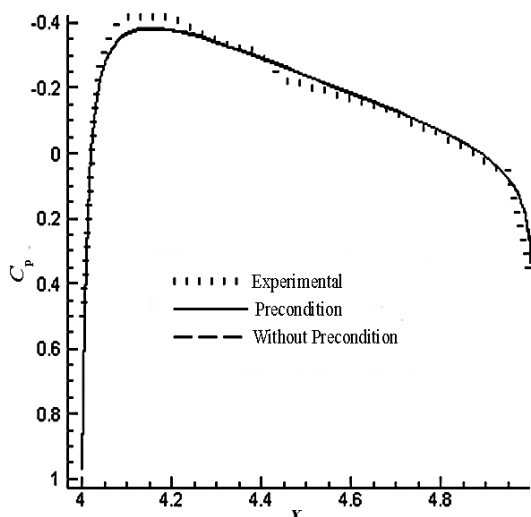
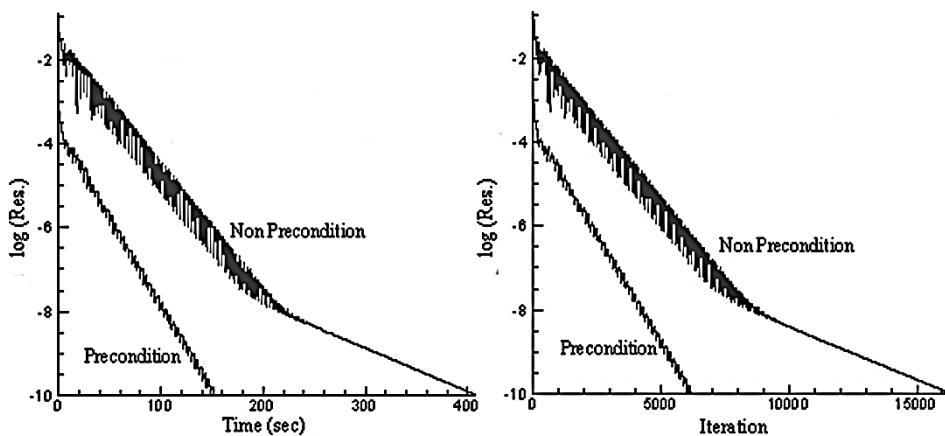


Fig. 5 Cp around airfoil with standard and preconditioned method in $M_{\infty}=0.1$

شکل 5 مقایسه ضربی فشار حاصل از روش استاندارد و پیش شرطی در اطراف ایرفویل در $M_{\infty}=0.1$

خود را نشان می دهد. برای بررسی این اثر جریان حول ایرفویل NACA0012 در اعداد ماخ پایین تر $M_{\infty}=0.1, 0.01$ مورد بررسی قرار گرفته است. جهت مقایسه صحیح کارایی روش پیش شرطی مقدار عدد CFL در هر دو روش پیش شرطی و غیر پیش شرطی یکسان در نظر گرفته شده که این مقدار برای تحلیل جریان در ماخ 0.1 برابر 1.32 انتخاب شده است. توزیع فشار روی سطح ایرفویل حاصل از روش پیش شرطی و غیر پیش شرطی و نتایج تجربی مرجع [8] در "شکل 5" آورده شده اند. نتایج حاکی از تفاوت ناچیز بین نتایج حاصل از روش پیش شرطی و غیر پیش شرطی از لحاظ دقت در این عدد ماخ و انطباق خوب توزیع ضربی فشار روی سطح ایرفویل با نتایج ارائه شده در مرجع [8] است. مقدار خطای موجود می تواند به دلیل تفاوت در ابعاد مسئله و شرایط جریان باشد. مقایسه نرخ همگرایی روش پیش شرطی و غیر پیش شرطی در "شکل 6" برای ماخ 0.1 نشان می دهد که در اعداد ماخ پایین روش پیش شرطی کارایی بهتری نسبت به روش غیر پیش شرطی دارد و می تواند زمان همگرایی را به طور محسوس کاهش دهد به طوری که در روش غیر پیش شرطی با 16350 تکرار و در زمان 410 ثانیه به همگرایی می رسیم و در روش پیش شرطی همگرایی با 6162 تکرار و در مدت زمان 152 ثانیه حاصل می شود.

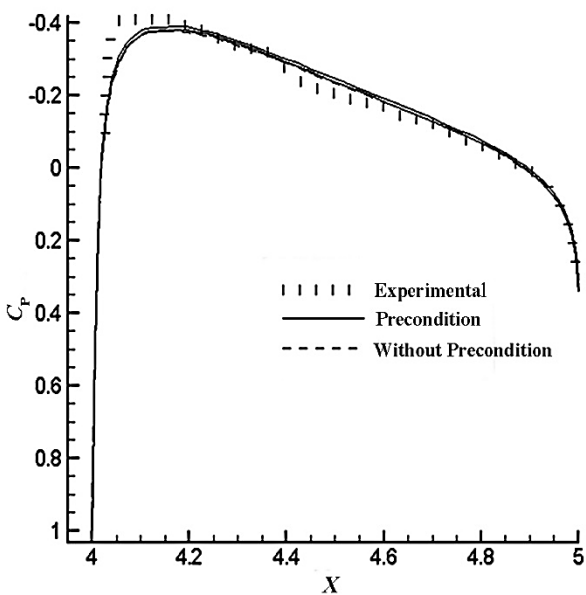
جهت بررسی اثرات اعمال روش پیش شرطی در اعداد ماخ پایین تر جریان حول ایرفویل NACA0012 در $M_{\infty}=0.01$ نیز بررسی شده است. مقدار عدد کورانت برای تحلیل جریان در این ماخ برابر هر دو روش پیش شرطی و غیر پیش شرطی یکسان و برابر 1.32 در نظر گرفته شده است. "شکل 7" مقایسه توزیع ضربی فشار روی سطح ایرفویل برای روش های پیش شرطی و غیر پیش شرطی و نتایج تجربی مرجع [8] را نشان می دهد. همان طور که در "شکل 7" مشاهده می شود نتایج حاصل از روش پیش شرطی با نتایج تجربی که در [8] آورده شده است تطابق بهتری نسبت به نتایج روش غیر پیش شرطی دارد، در واقع نتایج سیستم معادلات غیر پیش شرطی در عدد ماخ 0.01 خطا بیشتری دارد. "شکل 8" مقایسه نرخ همگرایی حل بین روش پیش شرطی و روش غیر پیش شرطی را نشان می دهد. در "شکل 8" مشاهده می شود که با کاهش عدد ماخ کارایی ماتریس پیش شرطی افزایش پیدا کرده و زمان همگرایی نسبت به روش غیر پیش شرطی کاهش چشمگیری پیدا کرده است به طوری که در روش غیر پیش شرطی با 46422 تکرار و در زمان 1133 ثانیه به همگرایی می رسیم و در روش پیش شرطی همگرایی با 3100 تکرار و در مدت زمان 74 ثانیه

Fig. 6 Convergence rate based on iteration and time for standard and preconditioned method in $M_\infty = 0.1$ $M_\infty = 0.1$

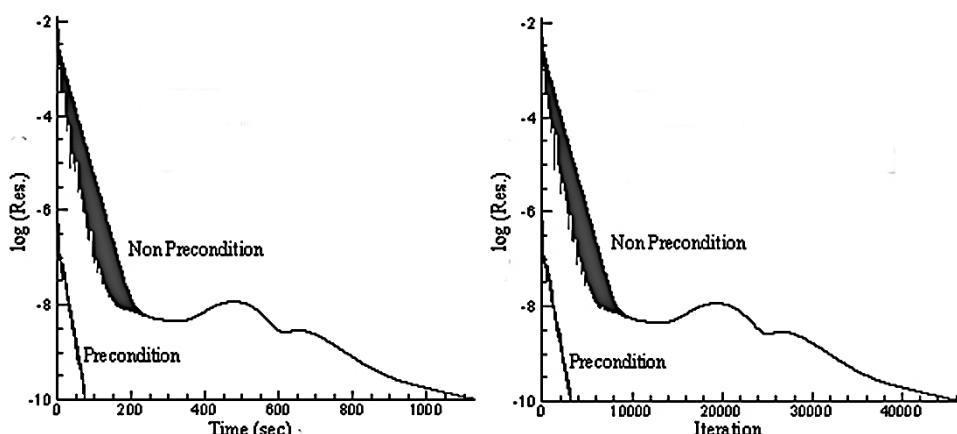
روش پیش شرطی زمان کمتری جهت همگرایی لازم است و سرعت همگرایی حدود 2.7 برابر می شود. در عدد ماخ 0.01 روش استاندارد و غیرپیش شرطی پاسخ های مناسبی نمی دهد و استفاده از روش پیش شرطی در این عدد ماخ علاوه بر این که پاسخ را با دقت بهتری محاسبه می کند زمان لازم جهت همگرایی را نیز به شدت کاهش می دهد، به طوری که سرعت همگرایی 15.5 برابر می شود.

7- فهرست علایم

سرعت صوت (ms^{-1})	c
عدد کوانت	CFL
انرژی کل	E
عدد ماخ	M
فشار ($\text{kgm}^{-1}\text{s}^{-2}$)	P
سرعت در جهت x (ms^{-1})	u
سرعت در جهت y (ms^{-1})	v
گام زمانی (s)	Δt
علایم یونانی	
پارامتر پیش شرطی	β
(kgm^{-3})	ρ
ماتریس پیش شرطی	Γ

Fig. 7 C_p around airfoil with standard and preconditioned method in $M_\infty = 0.01$

شکل 7 مقایسه ضریب فشار حاصل از روش استاندارد و پیش شرطی در اطراف ایرفویل در $M_\infty = 0.01$

Fig. 8 Convergence rate based on iteration and time for standard and preconditioned method in $M_\infty = 0.01$ $M_\infty = 0.01$

-8- مراجع

- [8] K. Hejranfar, R. Kamali Moghadam, Evaluation of preconditioned method for solving two-dimensional compressible flows with low mach number using upstream finite volume Roe algorithm in unstructured grid, *Proceedings of The 8th International Conference on Aerospace*, Isfahan, Iran, February 17-19, 2009. (in Persian) (فارسی)
- [9] F. Bassi, C. De Bartolo, R. Hartmann, A. Nigro, A discontinuous Galerkin method for inviscid low Mach number flows, *Computational Physics*, Vol. 228, No. 11, pp. 3996-4011, 2009.
- [10] E. Turkel, V. N. Vatsa, Choice of variables and preconditioning for time dependent problems, *Proceedings of The 16th AIAA Computational Fluid Dynamics Conference*, Orlando, Florida, USA, 2003.
- [11] A. Prachar, Local low speed preconditioning in rotating reference frame, *Applied Mathematical Sciences*, Vol. 9, No. 5, pp. 209-218, 2015.
- [12] B. R. Shin, S. Yamamoto, X. Yuan, Application of preconditioning method to gas-liquid two-phase flow computations, *Proceedings of The 4th Joint Fluids Summer Engineering Conference*, Honolulu, Hawaii, USA, July 6-10, 2003.
- [13] D. Lee, *Local preconditioning of the Euler equations*, PhD Thesis, University of Michigan, 1991.
- [14] L. Xue-song, G. Chun-wei, Mechanism of Roe-type schemes for all-speed flows and its application, *Computers & Fluids*, Vol. 86, No. 1, pp. 56-70, 2013.
- [15] H. Guillard, C. Viozat, On the Behavior of Upwind Schemes in the low Mach number limit, *Computers & Fluids*, Vol. 28, No. 1, pp. 63-86, 1999.
- [1] H. Aminaei, M. Dehghan Manshadi, A. R. Mostofizadeh, Numerical estimation of the wing boundary layer transition in propeller flowfield, *Modares Mechanical Engineering*, Vol. 17, No. 2, pp. 157-165, 2017. (in Persian) (فارسی)
- [2] E. Turkel, Precondition methods for solving the incompressible and low speed compressible equations, *Computational Physics*, Vol. 72, No. 2, pp. 277-298, 1987.
- [3] A. J. Chorin, A numerical method for solving incompressible viscous flow problem, *Computational Physics*, Vol. 2, No. 1, pp. 12-26, 1967.
- [4] L. E. Eriksson, A preconditioned Navier-Stokes solver for low Mach number flows, *Proceedings of The 3rd ECCOMAS Computational Fluid Dynamics Conference*, Paris, France, September 9-13, 1996.
- [5] Y. H. Choi, C. L. Merkle, The application of preconditioning in viscous flows, *Computational Physics*, Vol. 105, No. 2, pp. 207-223, 1993.
- [6] E. Turkel, A. Fiterman, B. Van Leer, *Preconditioning and the Limit to the Incompressible Flow Equations*, NASA Contractor Report 191500, 1993.
- [7] K. Hejranfar, R. Kamali Moghadam, implicit solution of two-dimensional preconditioned compressible flow with low mach number using an upstream finite volume algorithm, *Proceedings of The 18th International Conference on Mechanical Engineering*, Tehran, Iran, May 11-13, 2010. (in Persian) (فارسی)